



# БИООРГАНИЧЕСКАЯ ХИМИЯ

том 13 \* № 1 \* 1987

УДК 577.152.361.3:577.112.5

## ПЕРВИЧНАЯ СТРУКТУРА $\beta$ -СУБЪЕДИНИЦЫ $\text{Na}^+, \text{K}^+$ -АТР-азы ПОЧЕК СВИНЫ

### I. АНАЛИЗ ПРОДУКТОВ ТРИПТИЧЕСКОГО ГИДРОЛИЗА ИММОБИЛИЗОВАННОГО БЕЛКА

*Арзамазова Н. М., Гевондян Н. М., Чертова Е. Н.,  
Назимов И. В., Гаврильева Е. Е., Агаджанова Н. А.,  
Модянов Н. Н.*

*Институт биоорганической химии им. М. М. Шемякина  
Академии наук СССР, Москва*

Проведен исчерпывающий триптический гидролиз  $\beta$ -субъединицы  $\text{Na}^+, \text{K}^+$ -АТР-азы, иммобилизованной на тиолсодержащем носителе. Методом высокоеффективной жидкостной хроматографии выделено и охарактеризовано более 25 пептидов, составляющих в сумме около 90% аминокислотной последовательности полипептидной цепи белка. Полученная информация послужила основой для синтеза специфических гибридизационных олигонуклеотидных зондов. На основании структурного анализа установлены места присоединения трех углеводных цепей в молекуле  $\beta$ -субъединицы.

В рамках структурно-функционального исследования  $\text{Na}^+, \text{K}^+$ -АТР-азы почек свиньи (КФ 3.6.1.3) установлена нуклеотидная последовательность кДНК, соответствующая транслируемой области мРНК, и определена первичная структура обеих составляющих ферментативный комплекс субъединиц: каталитической  $\alpha$ -субъединицы ( $M 112$  кДа) [1] и гликопротеина  $\beta$ -субъединицы ( $M$  белковой части 35 кДа), функциональная роль которой до сих пор неизвестна [2].

Основная цель исследования заключалась во фрагментации гликозилированной  $\beta$ -субъединицы  $\text{Na}^+, \text{K}^+$ -АТР-азы и получении структурной информации для синтеза специфических гибридизационных олигонуклеотидных зондов, а также для контроля рамки считывания нуклеотидной последовательности кДНК. В ходе исследования были выделены все гликозилированные пептиды и, таким образом, установлены участки полипептидной цепи  $\beta$ -субъединицы, содержащие углеводные цепи.

Ранее для получения необходимых данных по структуре пептидов каталитической  $\alpha$ -субъединицы был осуществлен ее избирательный триптический гидролиз в составе мембрносвязанной  $\text{Na}^+, \text{K}^+$ -АТР-азы в условиях полного сохранения интактности гликопротеина [3]. Осуществить селективное протеолитическое расщепление гликопротеина в нативном ферментном комплексе не удалось:  $\beta$ -субъединица оказалась весьма устойчивой к действию как трипсина, так и других протеиназ (химотрипсина, термолизина, стафилококковой протеиназы). Поэтому для получения необходимой структурной информации  $\beta$ -субъединица была выделена в индивидуальном состоянии.

$\text{Na}^+, \text{K}^+$ -АТР-азу выделяли из мозгового слоя почек свиньи по модифицированному методу Йоргенсена с центрифугированием в ступенчатом градиенте плотности глицерина [4].

Использование для разделения субъединиц ферmenta хроматографии на гидроксиапатите оказалось малоэффективным: в описанных условиях [4] значительная часть белка элюировалась в виде агрегатов. Полной дезагрегации удавалось достичь увеличением концентрации детергента до весового соотношения детергент – белок 50 : 1. Однако при этом снижа-

Сокращения: SDS – додецилсульфат натрия, Dns – 1-диметиламинонафталин-5-сульфонилхлорид, Pth – фенилтиогидантон.

лись хроматографические характеристики смолы, а длительность процесса разделения (36–48 ч) приводила к распаду лабильной  $\alpha$ -субъединицы на фрагменты, ряд из которых имел молекулярную массу, близкую к молекулярной массе  $\beta$ -субъединицы, что осложняло дальнейшую очистку.

Для получения индивидуальных субъединиц фермента весьма перспективным оказалось применение метода высокоеффективной гель-хроматографии на колонке Ultro Pac TSK-G 3000 SWG (LKB, Швеция) (рис. 1). Возможность использования дегидрата в высокой концентрации (5%), обеспечивающей полную диссоциацию комплекса, и значительное сокращение времени процесса (1 ч) позволило количественно разделить субъединицы с сохранением целостности их полипептидных цепей. В случае необходимости (присутствие по данным электрофореза в поликариламидном геле (ПААГ) низкомолекулярных примесей) проводилась дополнительная очистка препаратов обогащенной  $\beta$ -субъединицы рехроматографией на колонке Ultro Pac TSK-G 2000 SWG (LKB, Швеция). Гомогенность полученных таким образом образцов белка контролировалась электрофорезом в ПААГ и определением N-концевого аминокислотного остатка.

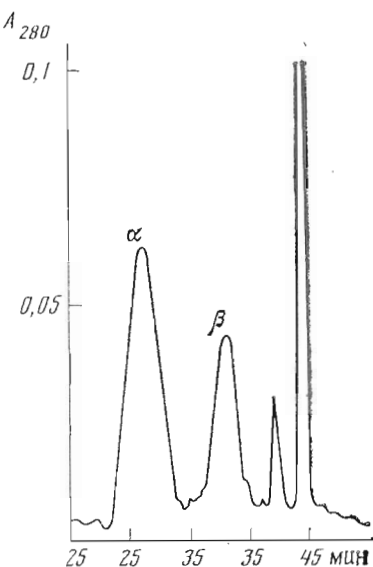


Рис. 1. Разделение субъединиц  $\text{Na}^+$ ,  $\text{K}^+$ -ATР-азы методом высокоеффективной гель-хроматографии на колонке (21,5 × 600 мм) Ultro Pac TSK-G 3000 SWG в 100 мМ трис- $\text{H}_2\text{SO}_4$ -буферном растворе, pH 7,5, содержащем 2 мМ EDTA-Na<sub>2</sub>, 2 мМ дигиотрент, 10<sup>-4</sup> М фениламетилсульфонилфторид, 0,02% азота натрия и 5% SDS. Скорость элюции 3,2 мл/мин

помощью реакции тиол-дисульфидного обмена на жестком носителе (тиол-стекло) и последующего связывания белка [5]. Ковалентное присоединение белка делает возможным полное освобождение от дегидрата, поскольку устойчивость нерастворимого носителя к кислотам и органическим растворителям позволяет осуществлять эффективную отмычку коньюгата. Белок становится более доступным к действию протеиназ, по-видимому, как за счет меньшей склонности ковалентно связанного с носителем белка к агрегации, так и вследствие происходящих при иммобилизации конформационных изменений, благоприятствующих взаимодействию субстрата с ферментом. При этом получаемую пептидную смесь можно разделить на две группы: цистеинсодержащие пептиды, соединенные с носителем S—S-связью, и пептиды, переходящие в раствор. Это значительно упрощает разделение и очистку пептидов.

По данным аминокислотного анализа, молекула  $\beta$ -субъединицы содержит 7 остатков цистеина [2, 4] и, следовательно, может связываться ковалентно с тиолсодержащим носителем. Предварительно проводилось восстановление белка избытком  $\beta$ -меркаптоэтанола в денатурирующих условиях (5% SDS) с последующим удалением восстановителя гель-фильтрацией на колонке с биогелем P-2 в условиях, позволяющих избежать окисления SH-групп и агрегации белка (pH 4,0; 1% SDS). Процесс

иммобилизации осуществлялся добавлением активированного тиол-стекла [5] к фракции элюата, содержащей  $\beta$ -субъединицы в атмосфере аргона. Во избежание механического повреждения носителя перемешивание реакционной массы осуществляли во вращающемся флаконе. Полная иммобилизация белка (по данным аминокислотного анализа) достигалась при 15-кратном молярном избытке носителя (по емкости) за 16 ч.

Молекула  $\beta$ -субъединицы содержит 30 остатков лизина и 15 остатков аргинина [2], поэтому для фрагментации полипептидной цепи было целесообразно использовать гидролиз трипсином. В серии аналитических экспериментов были найдены оптимальные условия исчерпывающего трипсинолиза: 0,1 М аммоний-бикарбонатный буфер (рН 8,2, буфер В), нагрузка фермента 10% (по массе), время гидролиза 20 ч.

По окончании гидролиза супернатант декантировали, а стекло, учитывая возможность неспецифической сорбции гидрофобных пептидов, последовательно промывали буферным раствором В, 98% муравьиной кислотой и водным метанолом. Практически все пептиды гидролизата, не содержащие остатков цистеина, были обнаружены лишь в буферном растворе В; по данным аминокислотного анализа, они составляли в сумме ~60% от исходного количества белка.

Цистеинсодержащие пептиды были переведены в раствор при обработке коньюгата 50-кратным молярным избытком  $\beta$ -меркаптоэтанола в буферном растворе В, содержащем 3 мМ EDTA-Na<sub>2</sub>, в течение 15 ч при перемешивании в атмосфере аргона. После отделения буферного раствора декантацией стекло промывали как описано в «Экспериментальной части». Цистеинсодержащие пептиды, по данным аминокислотного анализа, содержались только в исходном буферном растворе. Для предотвращения окисления SH-групп пептиды карбоксиметилировали. Чтобы исключить традиционную стадию обессоливания пептидов перед их разделением, процесс карбоксиметилирования проводился в нестандартных условиях: 0,5 М аммоний-бикарбонатный буферный раствор, рН 8,5.

Для фракционирования смесей пептидов обеих групп применялась высокоэффективная жидкостная хроматография (ВЭЖХ) на колонке с носителем Nucleosil C<sub>18</sub> с использованием градиента концентрации ацетонитрила в 10 мМ аммоний-ацетатном буферном растворе, рН 5,65.

Большая часть пептидов, не содержащих остатков цистеина, выходила в диапазоне концентраций ацетонитрила 0–35%. Для повышения эффективности разделения в этой области создавали пологий градиент (0,16% в 1 мин) (рис. 2а). В результате первичного разделения гидролизата была получена 21 объединенная фракция.

При разделении цистеинсодержащих пептидов с использованием ступенчатого градиента концентрации ацетонитрила образовалось семь объединенных фракций (рис. 2б). Большинство пептидов элюировалось в области концентраций ацетонитрила 18–45%, и лишь одна из фракций выходила с колонки при высокой концентрации ацетонитрила (70%).

Рехроматография объединенных фракций пептидов обеих групп осуществлялась на той же колонке в 0,1% растворе трифтормукусной кислоты соответствующими градиентами концентраций ацетонитрила. Фракция, полученная в процессе нанесения цистеинсодержащих пептидов (SH-0), перед рехроматографией предварительно обессоливалась.

Гомогенность всех выделенных пептидов контролировали определением N-концевых остатков и по данным аминокислотного анализа. Структуру пептидов устанавливали методом Эдмана с идентификацией аминокислот в виде дансильных производных. Дикарбоновые аминокислоты, их амиды и остатки триптофана определяли в виде фенилтиогидантоинов. Для ряда пептидов применяли автоматическую деградацию на секвенаторе. В некоторых случаях для определения С-концевых последовательностей использовались карбоксилептидазы А, В, У.

В таблице приведена структура (полная или частичная) полученных в индивидуальном состоянии пептидов  $\beta$ -субъединицы. Всего из триптического гидролизата иммобилизованной на тиол-стекле  $\beta$ -субъединицы выделено и охарактеризовано более 25 пептидов, составляющих в сумме

**Аминокислотная последовательность триптических пептидов  $\beta$ -субединицы  $\text{Na}^+$ ,  $\text{K}^+$ -АТР-азы**

Положение по гену *	Пептид	Аминокислотная последовательность **
5–12	II-3	Ala-Lys-Glu-Gly-Ser-Try-Lys
14–20	XIV-2, XIV-3	<u>(Lys)-Phe-Ile-Trp-Asn</u> -Ser-Glu-Lys
22–26	V-1, VI-1	Glu-Phe-Leu-Gly-Arg
27–33	XI-1	Thr-Gly-Gly-Ser-Trp-Phe-Lys
27–70	SH-VII-1	Thr-Gly-Gly-Ser(Cys, Asx), Thr <sub>3</sub> , Ser, Glx <sub>3</sub> , Pro, Gly <sub>3</sub> , Ala <sub>1</sub> , Val <sub>2</sub> , Met <sub>1</sub> , Ile <sub>6</sub> , Leu <sub>5</sub> , Tyr <sub>3</sub> , Phe <sub>5</sub> , Try <sub>1</sub> , Lys <sub>2</sub> , Arg <sub>1</sub>
71–84	XII-1, XIII-1, XIV-1	Val-Ala-Pro-Pro-Gly-Ile-Thr-Gln-Ile-Pro-Gln-Ser-Gln-Lys
85–106	XVII-2, XVIII-1	Thr-Glu-Ile-Ser-Phe-Arg-Pro-Asn-Asp-Pro-Gln-Ser-Tyr-Glu-Ser-Tyr-Val-Ser-Ile-Val-Arg
107–110	II-1	Phe-Leu-Glu-Lys
113–117	II-4	Asp-Leu-Ala-Gln-Lys-Asp-Asp(Cys <sub>1</sub> , Asx <sub>2</sub> , Ser <sub>1</sub> , Glx <sub>2</sub> , Pro <sub>1</sub> , Gly <sub>1</sub> , Val <sub>1</sub> , Met <sub>1</sub> , Ile <sub>1</sub> , Leu <sub>1</sub> , Phe <sub>1</sub> )
113–133	SH-III-1	Asp-Asp-Met-Ile-Phe(Cys <sub>1</sub> , Asx <sub>2</sub> , Glx <sub>1</sub> , Pro <sub>1</sub> , Gly <sub>1</sub> , Val <sub>1</sub> , Val <sub>1</sub> )Ser-Gly-Leu-Lys
118–133	SH-III-1	Phe-Arg
150–151	SH-V-1	Pho-Arg-Leu-Glu-Trp-Leu-Gly-Asn(Cys <sub>1</sub> , Asx <sub>2</sub> , Ser <sub>1</sub> , Thr <sub>1</sub> , Glx <sub>1</sub> , Gly <sub>2</sub> , Leu <sub>1</sub> , Tyr <sub>2</sub> )Lys
150–169	SH-IV-1	Leu-Glu-Trp-Leu-Gly-Asn-Cys-Ser(Asx <sub>2</sub> , Thr <sub>1</sub> , Glx <sub>1</sub> , Gly <sub>2</sub> , Leu <sub>1</sub> , Tyr <sub>2</sub> )Lys
152–169	SH-I-1	Asp-Gly-Lys-Pro-Cys-Val-Ile-Ile-Lys
170–178	XI-2, XII-2, XIII-2	Val-Leu-Gly-Phe-Lys-Pro-Lys-Pro-Pro-Lys-Pro-Val-His(Cys <sub>1</sub> , Thr <sub>1</sub> , Glx <sub>1</sub> , Pro <sub>1</sub> , Val <sub>1</sub> , Met <sub>1</sub> , Tyr <sub>1</sub> )Lys
182–202	SH-V-2, SH-VI-1	Tyr-Asn-Pro-Tyr-Val-Leu-Pro-Val-His(Cys <sub>1</sub> , Thr <sub>1</sub> , Glx <sub>1</sub> ) Lys
203–215	XVII-2, XII-1, XIIX-2, XX-1, XXI-1	<u>[Val-Gly-Thr-Met-Glu-Tyr-Phe-Gly-Leu-Gly-Gly]</u> -[Ile-Pro-Gly-Phe-Pro-Leu-Gln-Tyr-Tyr-Pro-Tyr-Tyr-Gly-Lys
223–247		Leu-Leu-Gln-Pro-Lys
248–252	IV-1	Tyr-Leu-Gln-Pro-Leu
253–257	IX-1, X-1	Tyr-Leu-Gln-Pro-Leu(Asx <sub>2</sub> , Thr <sub>3</sub> , Glx <sub>2</sub> , Ala <sub>1</sub> , Val <sub>1</sub> , Met <sub>2</sub> , Ile <sub>1</sub> , Leu <sub>1</sub> , Phe <sub>1</sub> )Arg
253–272	XV-4, XV-2, XV-3, XV-4, XVI-1, XVII-1	Ala-Tyr-Gly-Glu-Asn-Ile-Gly-Tyr-Ser-Glu-Lys
273–276	SH-0	Asp-Arg-Phe-Gln-Gly-Arg
277–287	VII-1, VIII-1	Phe-Gln-Gly-Arg
288–293	III-1	Phe-Asp-Val-Lys
290–293	II-2	Ile-Glu-Val-Lys-Ser
294–297	III-2	
298–302	III-3	

\* [2].

\*\* Точками отмечены гликоцилированные аминокислотные остатки. В рамках фрагментов, аминокислотная последовательность которых послужила основой для синтеза олигонуклеотидных зондов.

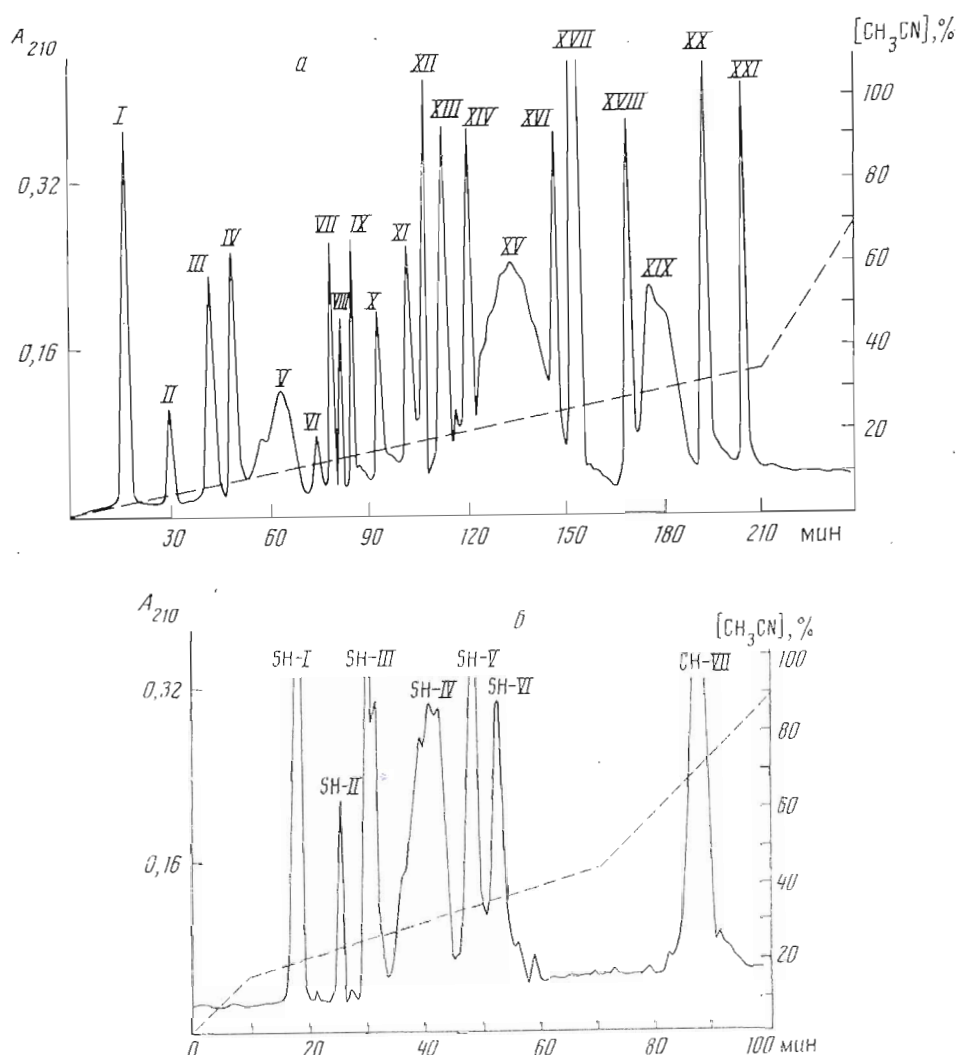


Рис. 2. Разделение триптических пептидов  $\beta$ -субъединицы, не содержащих остатков цистеина (а) и цистеинсодержащих (б), методом ВЭЖХ на колонке  $(0,46 \times 25 \text{ см})$  с носителем Nucleosil C<sub>18</sub> в градиенте концентраций ацетонитрила в 10 мМ ацетате аммония, pH 5,65. Скорость элюции 1 мл/мин. Пунктиром показано изменение процентного содержания ацетонитрила

около 90% аминокислотной последовательности полипептидной цепи белка.

Анализ полученных данных позволяет заключить, что ковалентно присоединенными к носителю оказались только пептиды, содержащие остатки цистеина; неспецифической сорбции не наблюдалось.

Карбоксиметилирование в летучем аммоний-бикарбонатном буфере и применение для разделения пептидов ВЭЖХ без предварительной стадии обессоливания оказалось возможным. Фракция, полученная в процессе насыщения цистеинсодержащих пептидов, содержала индивидуальный тетрапептид (SH-0).

В целом триптический гидролиз иммобилизованного белка прошел достаточно специфично. Только два пептида, Ile-Glu-Val-Lys-Ser (III-3) и Тир-Leu-Gln-Pro-Leu (IX-4), не содержали в качестве C-концевых остатков основных аминокислот. Структура пептида III-3 совпадает с C-концевой последовательностью белка, выведенной на основании нуклеотидной последовательности кДНК, а образование пептида IX-1 обусловлено, по-видимому, химотрипсиподобной активностью трипсина. Пептиды SH-III-1 и SH-Y-1 являлись продуктами полного трипсинолиза и представляли

собой удлиненные с N-конца индивидуальные пептиды SH-II-1 и SH-IV-1 соответственно (таблица).

Аминокислотные последовательности Val-Gly-Thr-Met-Glu-Tyr-Phe-Gly-Leu-Gly-Gly и Lys-Phe-Ile-Trp-Asn (пептиды XVIII-2 и XIV-2) оказались уникальными и были выбраны для синтеза специфических гибридизационных олигонуклеотидных зондов, которые успешно использовали [2].

По данным аминокислотного анализа, пептиды XI-2, XV-1, SH-IV-1 и SH-V-1 (удлиненный пептид SH-IV-1) содержали наряду с остатками аминокислот глюкозамин, что давало возможность предположить наличие в них углеводных цепей, присоединенных N-гликозидными связями к остатку аспарагина. Действительно, анализ аминокислотной последовательности пептидов XI-2 и SH-IV-1 позволил определить положение остатков сахара в цепи. Вывод о локализации гликозилированных остатков аспарагина был сделан на основании их комбинированной идентификации в виде Dns- и Pth-производных остатков на 6-й и 11-й стадиях деградации пептидов SH-IV-1 и XI-2. Гликозилированные остатки Asn входят в состав структур: Asn-Cys-Ser и Asn-Glu-Ser, отвечающих каноническим последовательностям Asn-X-Thr/Ser, характерным для гликопroteинов.

Местоположение углеводного компонента в пептиде XV-1 идентифицировано не было. Впоследствии, при анализе структуры белка, выведенной на основании нуклеотидной последовательности кДНК, были выявлены три потенциально возможных участка гликозилирования [2]. Они оказались локализованными в пептидах SH-IV-1, XI-2 и XV-1. Суммируя полученные данные, можно заключить, что  $\beta$ -субъединица  $\text{Na}^+/\text{K}^+$ -ATP-азы почек свиньи содержит три углеводные цепи, присоединенные к остаткам аспарагина в положениях 157, 192 и 264 ( $\text{Asn}^{157}\text{-Cys-Ser}$ ,  $\text{Asn}^{192}\text{-Glu-Ser}$ ,  $\text{Asn}^{264}\text{-Leu-Thr}$  [2]). Эти участки полипептидной цепи, следовательно, экспонированы на наружной стороне мембраны.

Сравнительно равномерное распределение углеводных цепей на значительном участке C-концевой области (составляющей приблизительно половину молекулы белка), вероятно, создает экранирующий эффект, объясняющий недоступность протеолизу  $\beta$ -субъединицы в нативном комплексе и значительную устойчивость ее к ферментативному расщеплению в иммобилизованном состоянии на стекле (по сравнению, например, с интегральным мембранным белком родопсином, две углеводные цепи которого локализованы на коротком N-концевом участке [5, 6]).

### Экспериментальная часть

В работе использовали: пористое стекло CPG/Thiol (Pierce, США) с размером зерна 125–177 мкм и диаметром пор 500 Å, трипсин TPCK (Worthington, США), карбоксипептидазы А (Calbiochem, Швейцария), В (Boehringer, ФРГ), У (СССР) 2,2-дипиридилсульфид (Aldrich, США), акриламид, N,N-метиленбисакриламид, N,N,N',N'-тетраметилэтапептидиамины, персульфат аммония (Bio-Rad, США),  $\beta$ -меркаптоэтанол, дитиотреит (Sigma, США), ацетонитрил, муравьиную кислоту (Merck, ФРГ), 1-диметиламинонафталин-5-сульфонилхлорид (Dns-хлорид), SDS (Serva, ФРГ), EDTA (Reanal, Венгрия). Остальные реактивы отечественного производства квалификации х. ч. или ос. ч.

Концентрацию белка определяли по методу Лоури [7] с использованием бычьего сывороточного альбумина в качестве стандарта и по результатам аминокислотного анализа. При определении количества иммобилизованного белка к навеске коньюгата, содержащей 0,2 нмоль белка, добавляли 400 мкл 5,7 н. HCl. Гидролиз проводили 24 ч в вакуумированной ампуле при 105° С. По окончании гидролиза кислоту деканттировали, а носитель дополнительно промывали 100 мкл 5,7 н. HCl. Аминокислотный анализ проводили на анализаторе Durrum D-500 (Durrum, США).

Электрофорез осуществляли в течение 5–6 ч согласно работе [8] в 100 ММ натрий-фосфатном буфере, pH 7,0, в присутствии 0,1% SDS с охлаждением при постоянном токе 60 мА на пластины. Использовали градиентные пластины ПААГ (4–15%) размером 8×8 см и толщиной 3 мм. Образцы с концентрацией белка 1 мг/мл предварительно инкубировали 3 мин

при 100° С в 10 мМ патрий-фосфатном буфере, pH 7,5, содержащем 5% SDS, 2,5% β-меркаптоэтанола, 1 мМ EDTA, и затем вносили в ячейку 20 мкг β-субъединицы или 50 мкг Na<sup>+</sup>, K<sup>+</sup>-ATP-азы. Гели окрашивали коллоидным раствором кумасси G-250 в 12,5% трихлоруксусной кислоте [9] или реагентом Шиффа [10].

Выделение Na<sup>+</sup>, K<sup>+</sup>-ATP-азы из мозгового слоя почек свиньи и определение ее специфической активности проводили как описано в работе [4]. Специфическая удельная активность использованного препарата фермента составляла 1300–1500 Ри мкмоль/ч/мг белка при 40° С.

*Разделение субъединиц Na<sup>+</sup>, K<sup>+</sup>-ATP-азы.* Фермент (0,75 мг) с концентрацией 2 мг/мл инкубировали 3 мин при 100° С в 50 мМ трис-H<sub>2</sub>SO<sub>4</sub>-буфере, pH 7,5, содержащем 10% SDS, 5% β-меркаптоэтанол, 1 мМ EDTA-Na<sub>2</sub>. Перед нанесением на колонку образец разбавляли в 2 раза тем же буфером, не содержащим SDS и β-меркаптоэтанола. Разделение субъединиц осуществляли на колонке (21,5×600 мм) с Ultro Pac TSK-G 3000 SWG, уравновешенным 0,1 М трис-H<sub>2</sub>SO<sub>4</sub>-буферным раствором, pH 7,5, содержащим 2 мМ EDTA-Na<sub>2</sub>, 2 мМ дитиотреит, 100 мМ фенилметилсульфонилфторид, 0,02% азид натрия и 5% SDS (буферный раствор А). Элюцию проводили раствором А со скоростью 3,2 мл/мин (рис. 1). Белки детектировали с помощью Uvicord SD (LKB, Швеция) по поглощению при 280 нм.

*Активирование и определение емкости носителя* — пористого стекла CPG/Thiol проводили как описано в работе [5]. Емкость тиол-стекла составила 23 мкмоль SH-групп на 1 г сухого препарата носителя.

*Восстановление и иммобилизация β-субъединицы.* К β-субъединице, находящейся в буфере А, добавляли β-меркаптоэтанол до концентрации 2% и выдерживали 4 ч при 20° С в атмосфере аргона. Затем белок обессаливали на колонке (2,5×100 см) с биогелем P-2, уравновешенным 100 мМ натрий-ацетатным буферным раствором, pH 4,0, содержащим 3 мМ EDTA-Na<sub>2</sub> и 1% SDS (буфер Б). Скорость элюции составляла 1,5 мл/мин. Детектирование фракций осуществляли спектрофотометрически при 280 нм. Фракцию, содержащую белок, собирали непосредственно во флакон с активированным носителем, предварительно замоченным в буфере Б.

Иммобилизацию (16 ч, 20° С), а также последующий триптический гидролиз и «снятие» цистеинсодержащих пептидов (см. ниже) осуществляли во вращающемся флаконе в атмосфере аргона. Затем коньюгат переносили на стеклянный фильтр и тщательно промывали последовательно растворами (10-кратными объемами по отношению к набухшему тиол-стеклу): буфером Б, водой, 98% муравьиной кислотой, водой, смесью вода — метанол (2:1, 1:1) и метанолом. По окончании отмывок стекло высушивали на воздухе.

*Триптический гидролиз иммобилизованной β-субъединицы.* Перед проведением гидролиза коньюгат промывали несколькими объемами 100 мМ аммоний-бикарбонатного буферного раствора, pH 8,2 (буфер В), на объем набухшего коньюгата добавляли 5 объемов буферного раствора В. Триптический гидролиз проводили 20 ч в буфере В при 37° С и нагрузке фермента 10% (к белку). Трипсин вводили двумя равными порциями с интервалом 4 ч. Коньюгат промывали несколькими объемами буфера В, водой, муравьиной кислотой, метанолом и высушивали. С помощью аминокислотного анализа было оценено содержание пептидов на носителе после трипсинолиза и в каждой «промывной» фракции. Раствор пептидов в буфере В (60% от исходного белка) разводили до конечной концентрации бикарбоната аммония 5 мМ и подвергали разделению с помощью высокоэффективной жидкостной хроматографии (ВЭЖХ) (см. ниже).

«Снятие» цистеинсодержащих пептидов проводили при 20° С в течение 15 ч в буферном растворе В, содержащем 50 моль β-меркаптоэтанола на 1 моль остатка Cys (в иммобилизованных пептидах), 3 мМ EDTA-Na<sub>2</sub>. Стекла отмывали аналогично вышеописанному. Контроль количества «снятых» пептидов осуществляли идентификацией N-концевых аминокислотных остатков на сорбенте и по данным аминокислотного анализа. Раствор пептидов карбоксиметилировали.

*Карбоксиметилирование цистеинсодержащих пептидов и одуксусной*

кислотой проводили в 0,5 аммоний-бикарбонатном буферном растворе, pH 8,5, в течение 15 мин при 20°С в темноте, постоянно контролируя pH реакционной среды. Молярность и pH исходного раствора поднимали до требуемых параметров добавлением к элюату соответствующего количества 2 М аммоний-бикарбонатного буфера, pH 8,5. Расчет избытка иодуксусной кислоты был проведен согласно работе [11]. Реакцию останавливали, дополнительно вводя β-меркаптоэтанол. Раствор концентрировали упариванием на роторном испарителе в 5 раз, а затем разбавляли водой до конечной концентрации бикарбоната аммония 5 мМ. После этого цистеинсодержащие пептиды разделяли с помощью ВЭЖХ.

*Разделение пептидов.* ВЭЖХ проводили на хроматографе Du Pont Instruments, модель 850 (Du Pont, США) с проточными спектрофотометрами Uvicord II, модель 2151, и Uvicord SD, модель 2158 (LKB, Швеция). При разделении использовали колонку (0,46×25 см) с обращенной фазой Nucleosil C<sub>18</sub> (диаметр частиц 7 мкм, Machery-Nagel, ФРГ). Скорость наполнения и элюции 1 мл/мин. Первичное деление гидролизатов проводили в 10 мМ ацетате аммония, pH 5,65, в градиенте концентраций ацетонитрила от 0 до 70% (для пептидов, не содержащих цистеина) и от 0 до 90% (для цистеинсодержащих пептидов). Рекроматографию пептидов проводили на той же колонке в 0,1% водной трифтормуксусной кислоте в градиенте концентраций ацетонитрила. Время изменения градиента 1–2 ч, выбор градиента на основании данных первичного деления фракции. Скорость элюции 1 мл/мин. Пептиды детектировали при двух длинах волн: 210 и 280 нм.

*Обессоливание на биогеле P-2.* Фракцию, полученную в процессе наполнения цистеинсодержащих пептидов (SH-0), перед рекроматографией упаривали и предварительно обессоливали на колонке (1,5×100 см) с биогелем P-2 (200–400 меш, Bio-Rad, США), уравновешенным 10% муравьиной кислотой. Соли детектировали с помощью кондуктора pH/Ion Monitor (LKB, Швеция), последовательно соединенного с Uvicord II. Фракцию, вышедшую до солей, объединили, упарили, растворили в 150 мкл 98% HCOOH и рекроматографировали ВЭЖХ.

*N-Концевые аминокислотные остатки пептидов и их аминокислотный состав определяли как описано в работе [12]. N-Концевую кислоту β-субъединицы определяли по дансильной методике в присутствии SDS [13]. При определении N-концевых аминокислотных остатков пептидов и белка, ковалентно связанных с носителем, после реакции дансилирования избыток реагента удаляли, а коньюгат несколько раз промывали ацетоном и метанолом. Затем носитель высушивали и подвергали в вакуумированной ампуле кислотному гидролизу.*

*Деградацию пептидов по методу Эдмана с идентификацией аминокислот в виде дансильных производных проводили на 2–5 нмоль образца по методу [12]. Идентификацию фенилтиогидантонинов дикарбоновых кислот, их амидов и триптофана осуществляли как описано в сообщении [14].*

*Автоматическую деградацию пептидов осуществляли на секвенаторе 890 С (Beckman, США). Идентификацию фенилтиогидантонинов аминокислот проводили методом ВЭЖХ [15].*

*C-Концевую последовательность пептидов определяли с помощью карбоксипептидаз А и В как по стандартной методике [16], так и с варьированием pH среды (для пептидов, содержащих в C-концевой области остатки дикарбоновых кислот). В ряде случаев использовалась карбоксипептидаза Y. Анализ гидролизата осуществляли с помощью аминокислотного анализатора Durrum D-500 и дансилированием.*

Авторы выражают глубокую признательность Ю. А. Овчинникову за постоянное внимание к работе и ценные советы. Авторы благодарят Т. И. Муравьеву, Г. И. Полищук, Т. Д. Нестерову за участие в выделении препаратов фермента.

#### ЛИТЕРАТУРА

1. Овчинников Ю. А., Арсенян С. Г., Броуде Н. Е., Петрухин К. Е., Гришин А. В., Алданова Н. А., Арагамазова Н. М., Аристархова Е. А., Мелков А. М., Смирнов Ю. В., Гурьев С. О., Монастырская Г. С., Модянов Н. Н. Докл. АН СССР, 1985, т. 285, № 6, с. 1490–1495.

2. Овчинников Ю. А., Броуде Н. Е., Петрухин К. Е., Гришин А. В., Кияткин Н. И., Арзамазова И. М., Гевондян Н. М., Чертова Е. Н., Мелков А. М., Смирнов Ю. В., Малышев И. В., Монастырская Г. С., Модянов Н. Н. Докл. АН СССР, 1986, т. 287, № 6, с. 1491–1495.
3. Арзамазова И. М., Аристархова Е. А., Шафиева Г. И., Назимов И. В., Алданова Н. А., Модянов Н. Н. Биоорган. химия, 1985, т. 11, № 12, с. 1598–1606.
4. Джанджузаян К. Н., Модянов Н. Н., Овчинников Ю. А. Биоорган. химия, 1981, т. 7, № 6, с. 847–857.
5. Овчинников Ю. А., Абдулаев Н. Г., Богачук А. С. Биол. мембранны, 1985, т. 2, № 10, с. 962–975.
6. Ovchinnikov Yu. A. FEBS Lett., 1982, v. 148, № 2, p. 179–191.
7. Lowry O. H., Rosenbrough N. J., Farr A. L., Randall R. J. J. Biol. Chem., 1951, v. 193, № 1, p. 265–275.
8. Weber K., Osborn M. J. Biol. Chem., 1969, v. 244, № 16, p. 4406–4412.
9. Diezel W., Koppenschläger G., Hojman E. Anal. Biochem., 1972, v. 48, № 2, p. 617–620.
10. Fairbanks G., Steck T. L., Wallach D. F. H. Biochemistry, 1971, v. 10, № 13, p. 2606–2617.
11. Crestfield A. M., Moor S., Stein W. H. J. Biol. Chem., 1963, v. 238, № 2, p. 622–627.
12. Гринкевич В. А., Арзамазова И. М., Поганенко Н. А., Гринкевич Х. А., Красченко З. Б., Фейгина М. Ю., Алданова Н. А. Биоортан. химия, 1979, т. 5, № 12, с. 1757–1774.
13. Weiner A. M., Platt T., Weber K. J. Biol. Chem., 1972, v. 247, № 10, p. 3242–3251.
14. Chen R., Hoppe-Seylens L. Physiol. Chem., 1976, v. 357, p. 873–886.
15. Hawke D., Yuan P.-M., Shively J. E. Anal. Biochem., 1982, v. 120, № 2, p. 302–311.
16. Ambler R. P. Meth. Enzymol., 1972, v. XXVB, p. 143–154, 262–272.

Поступила в редакцию  
14.VII.1986

## THE PRIMARY STRUCTURE OF $\beta$ -SUBUNIT OF $\text{Na}^+$ , $\text{K}^+$ -ATPase FROM PIG KIDNEY. I. ANALYSIS OF TRYPTIC PEPTIDES OF IMMOBILIZED $\beta$ -SUBUNIT

ARZAMAZOVA N. M., GEVONDYAN N. M., CHERTOVA E. N., NAZIMOV I. V.,  
GAVRILEVA E. E., ALDANOVA N. A., MODYANOV N. N.

*M. M. Shemyakin Institute of Bioorganic Chemistry, Academy  
of Sciences of the USSR, Moscow*

The  $\text{Na}^+$ ,  $\text{K}^+$ -ATPase's  $\beta$ -subunit immobilized on thiol-glass was hydrolyzed with trypsin. Over 25 peptides covering ca. 90% of the protein polypeptide chain were isolated from the digest by HPLC and characterized. Structural analysis allowed us to localize the sites of attachment of all three carbohydrate chains of  $\beta$ -subunit. Sequence data were used to design of oligonucleotide hybridization probes for gene cloning.